

TRABAJO PREPARADO PARA LAS XV JORNADAS ESTRUCTURALES DE LA INGENIERÍA DE COLOMBIA

Santafé de Bogotá, D.C., Septiembre 17,18 y 19 de 2003

Ing. Luis Gonzalo Mejía C.

de Luis Gonzalo Mejía C. y Cía. Ltda.

INTRODUCCIÓN

- > ¿Qué es un Elemento No Estructural (E.N.E.)?
- > Consideración de los E.N.E. en la NSR-98
- > ¿Cuáles son los tipos de E.N.E.?
- > ¿Qué elementos deben ser diseñados sísmicamente?





ESTRATEGIAS DE DISEÑO DE ELEMENTOS NO ESTRUCTURALES

Separación de los Elementos de la Estructura



Disposición de Elementos que admitan las deformaciones de la estructura



GRADO DE DESEMPEÑO DE LOS ELEMENTOS NO ESTRUCTURALES

Tabla A.9-1
Grado de desempeño mínimo requerido

Grupo de	Grado de
Uso	Desempeño
ΙV	Superior
III	Bueno
II	Bueno
I	Bajo

Grupo IV: Edificaciones indispensables

Grupo III: Edificaciones de atención a la comunidad

Grupo II: Estructuras de ocupación especial Grupo I: Estructuras de ocupación normal

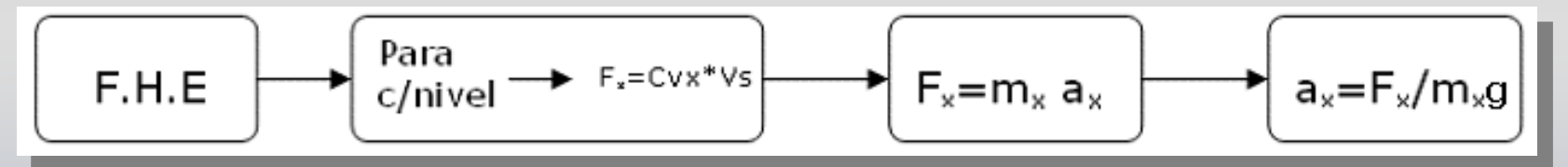
ANÁLISIS Y DISEÑO DE ELEMENTOS NO ESTRUCTURALES

Fuerza Sísmica sobre el E.N.E.

$$\left|F_{p} = \frac{a_{x}a_{p}}{R_{p}}gM_{p} \ge \frac{A_{a}I}{2}gM_{p}$$

Donde:

ax: aceleración en el punto de soporte



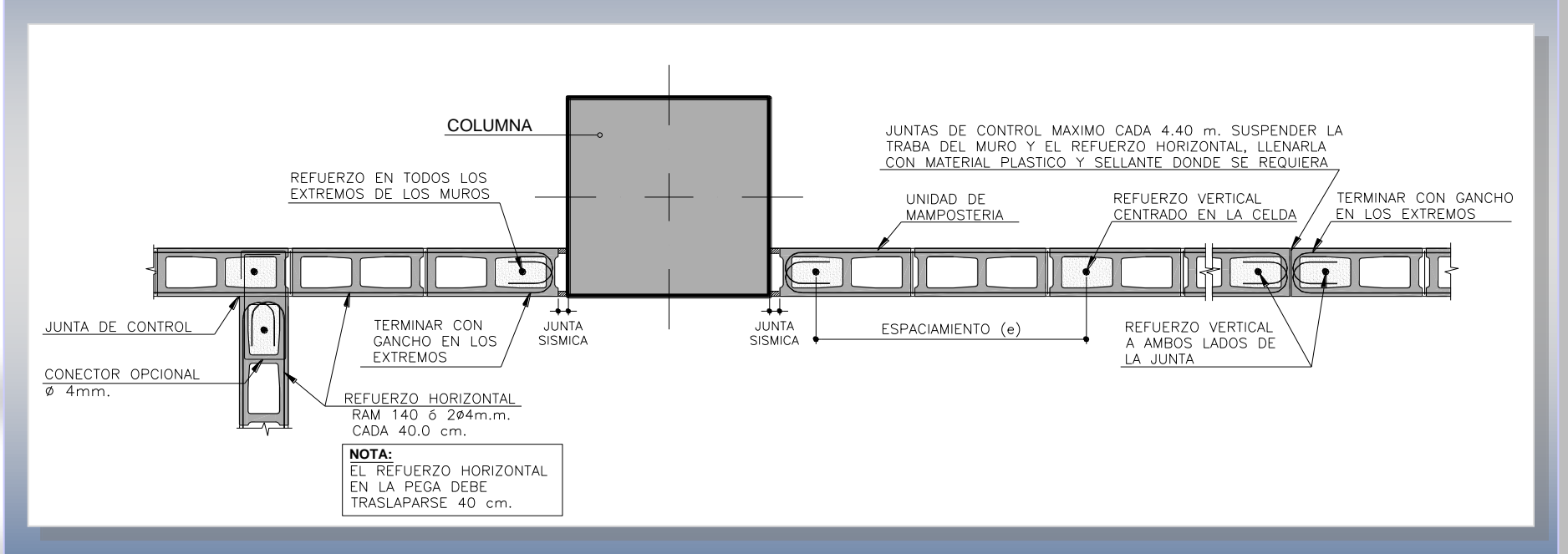
a_p: factor de amplificación dinámica



R_p: coeficiente de disipación de energía en el rango inelástico del E.N.E.

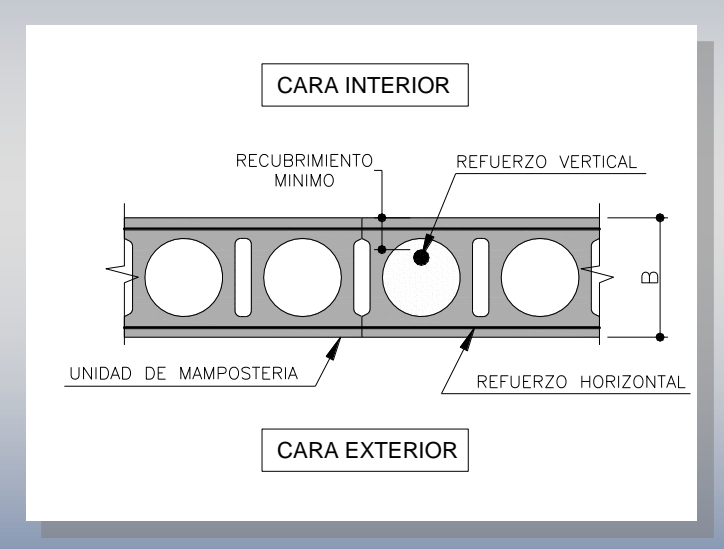


Ejemplo

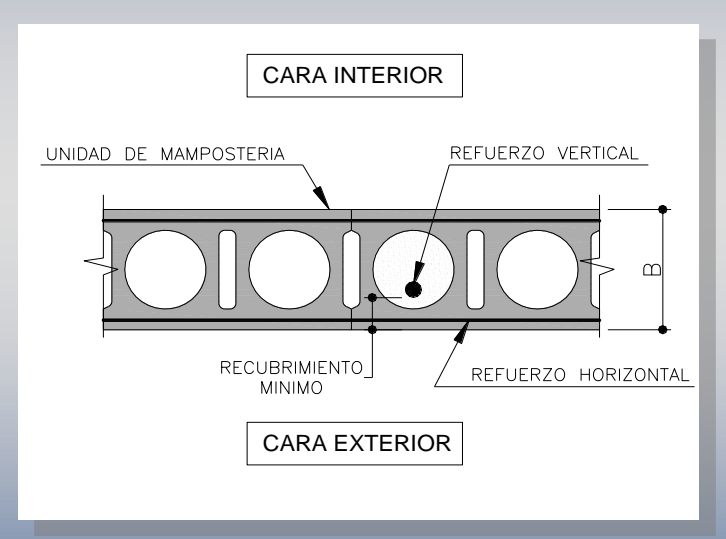


Detalle general de refuerzo para muros y juntas en la mampostería

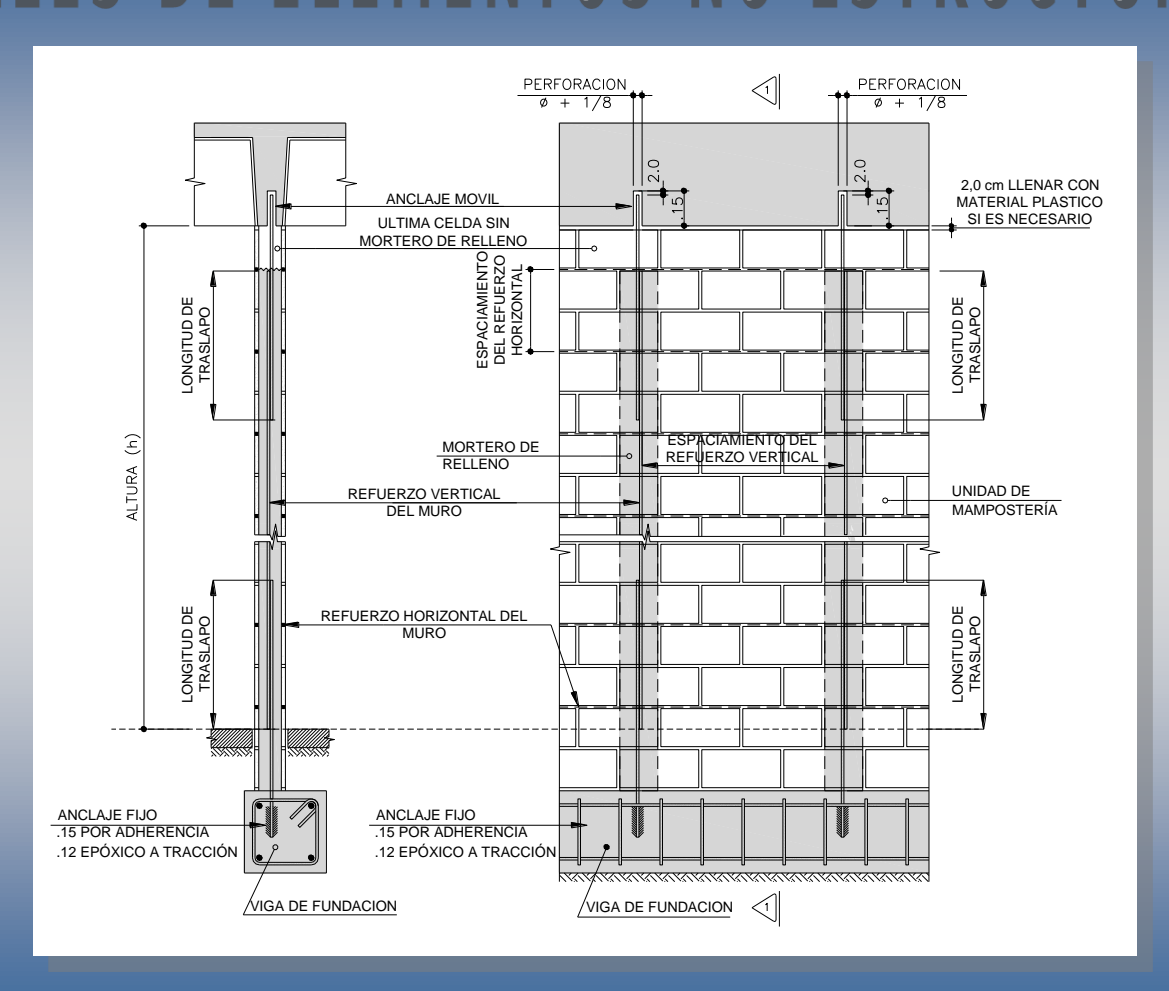




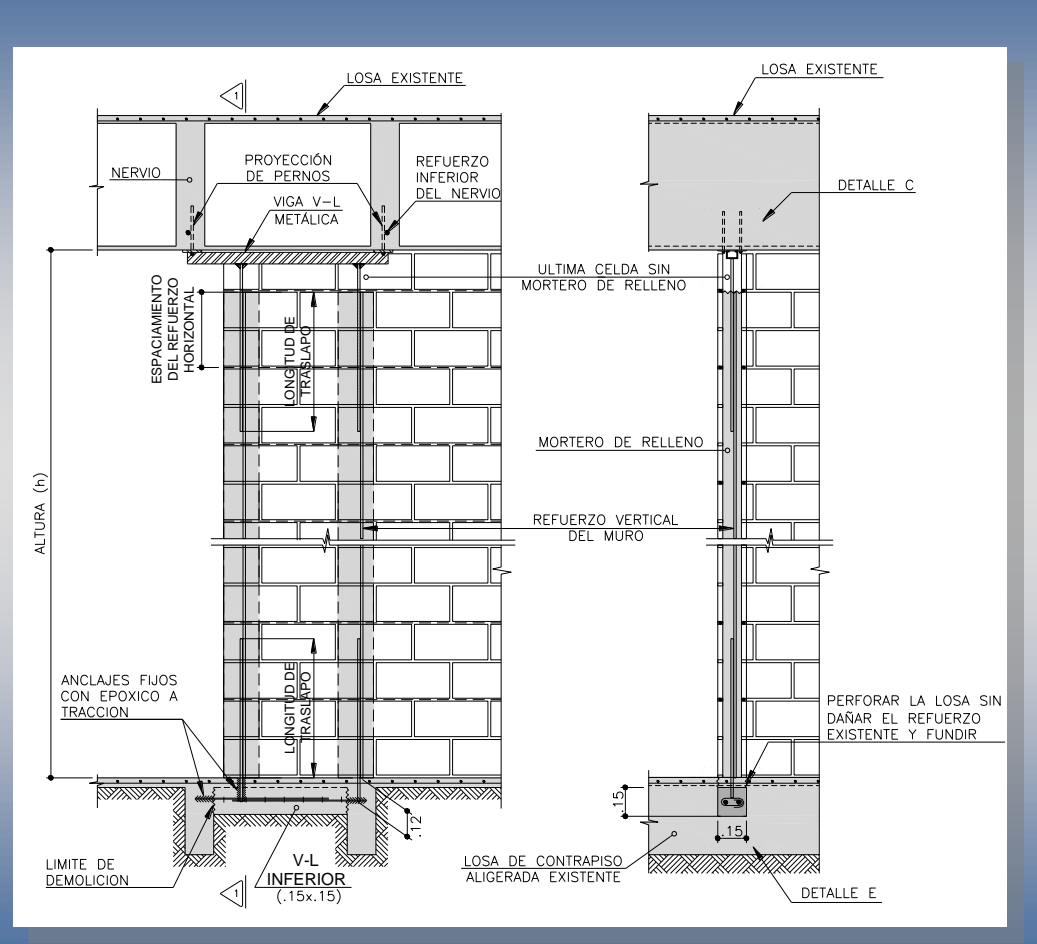
Muro Biapoyado

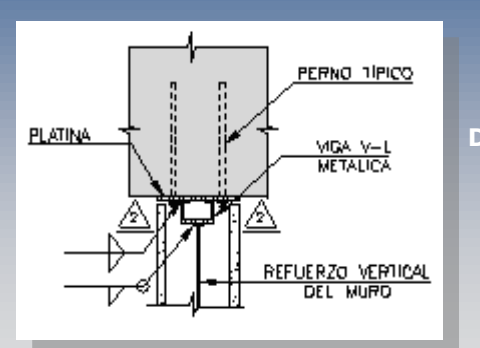


Muro en voladizo



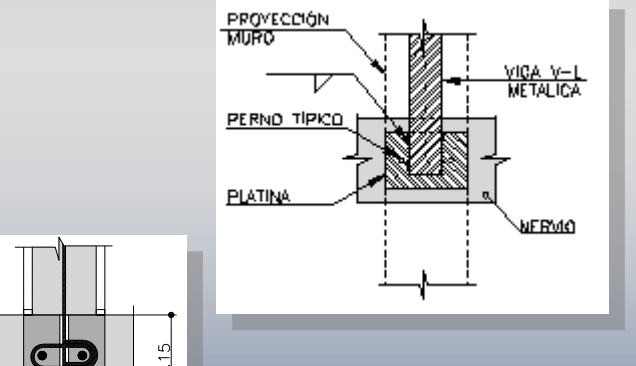
Elevación típica de muro biapoyado que nace de viga de fundación





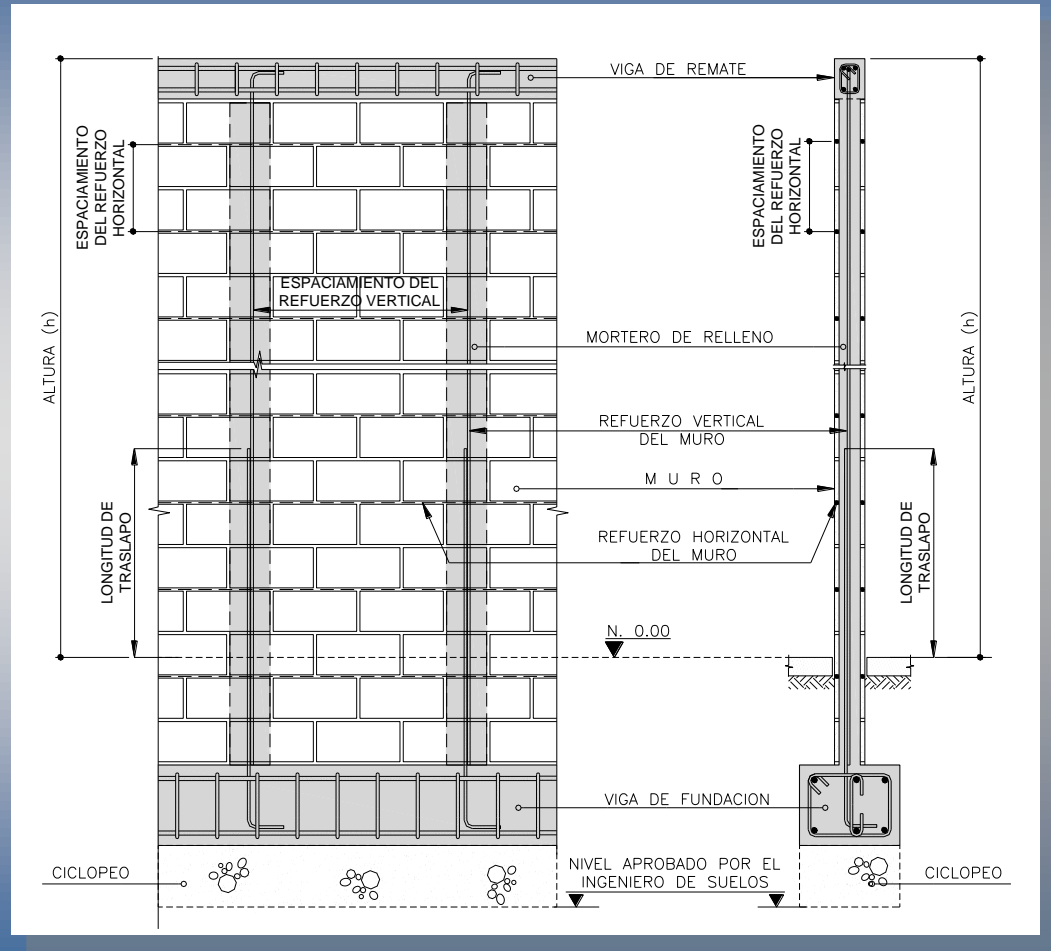
Detalle de vigueta V-L superior metálica

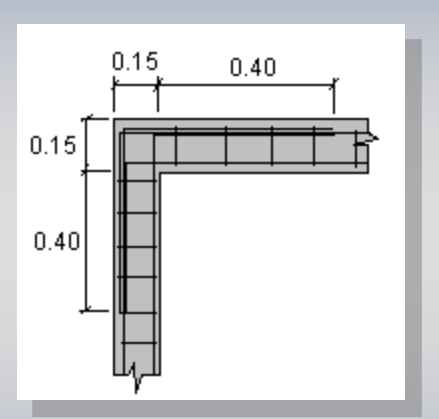




Detalle de vigueta V-L inferior.

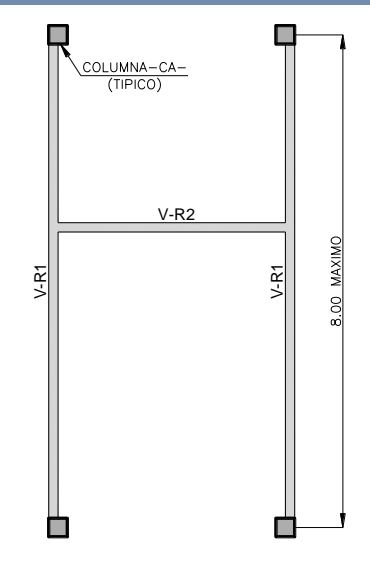
Elevación típica de muro biapoyado cuando no coincide con nervio.





Detalle del traslapo del refuerzo en vigas de remate en esquinas

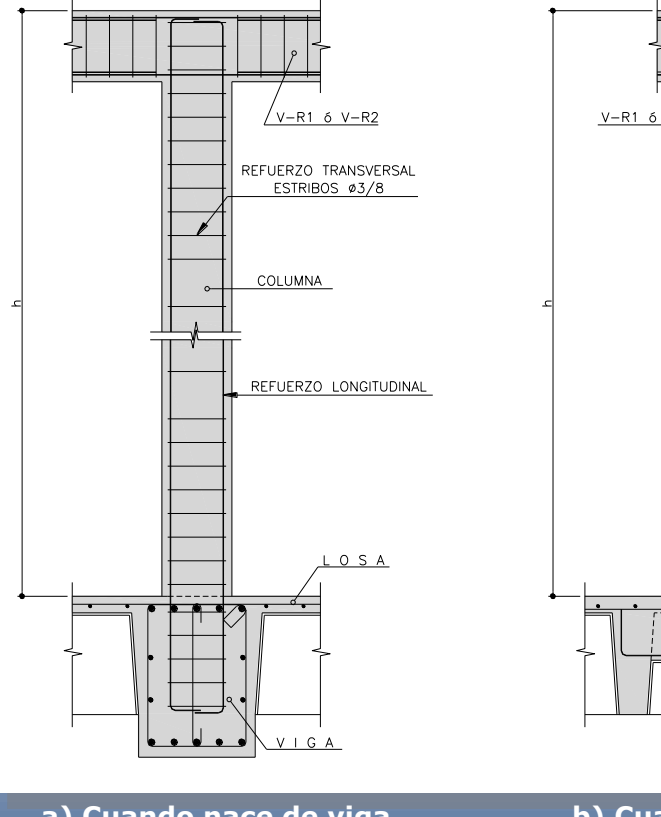
Elevación típica de muro en voladizo que nace de viga de fundación



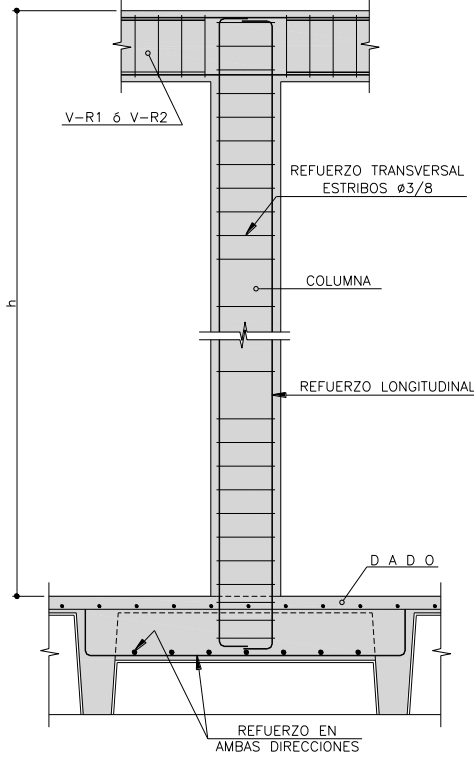
Planta típica de distribución de columnas -CAy vigas VR



_¶₩₩₽ Rigidez R MURO



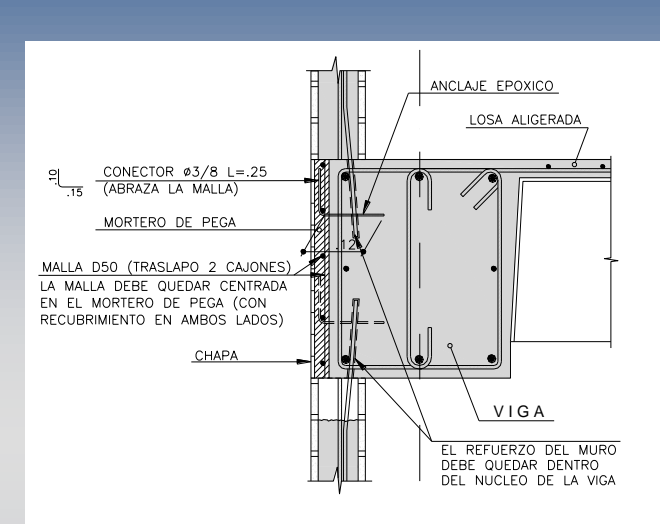


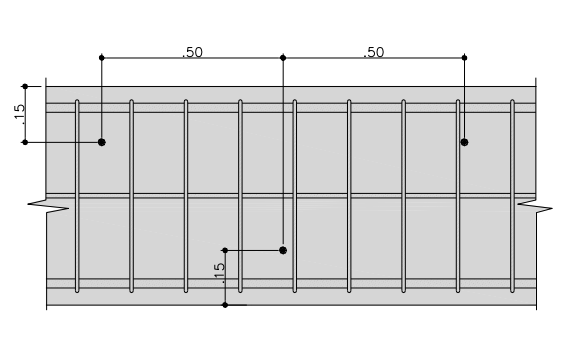


b) Cuando no coincide con viga

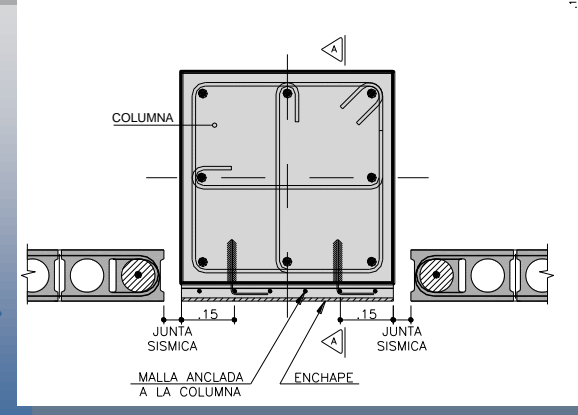
Elevación y detalles de apoyo de columnas -CA-

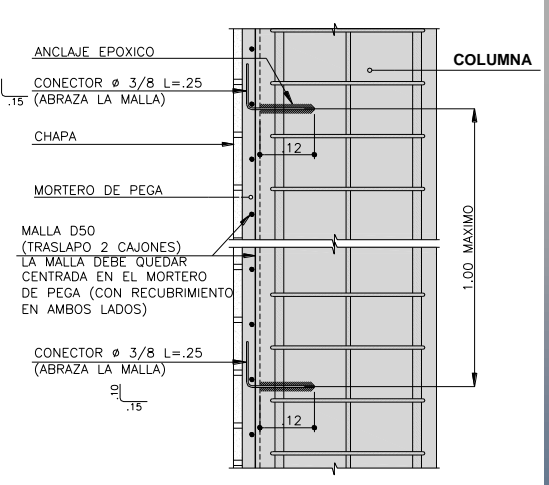
Modelo de análisis para muros con apoyo superior en viga V-R2



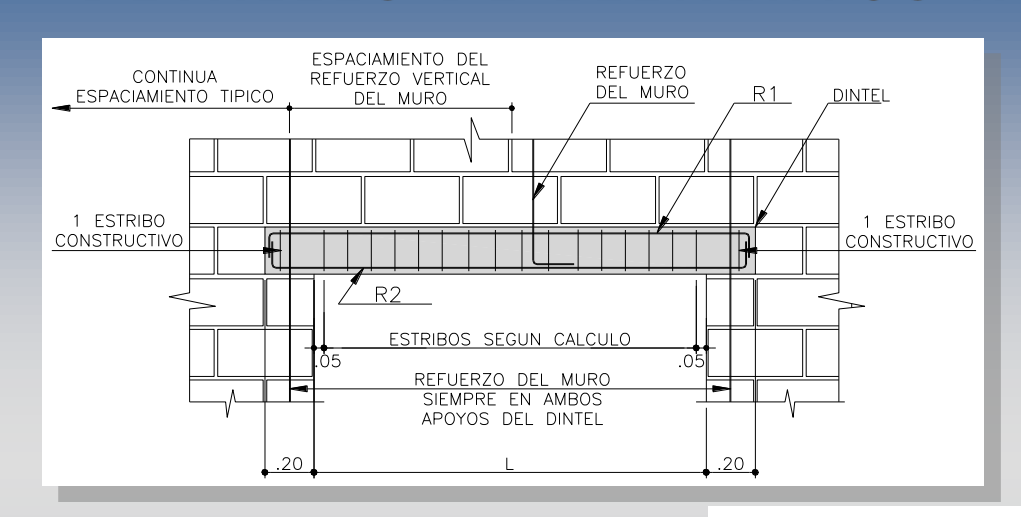


Enchape en vigas



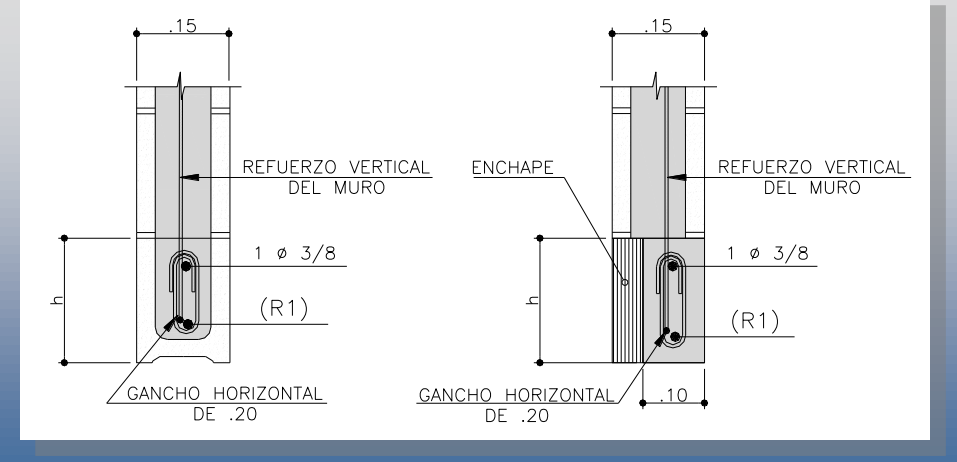


Enchape en columnas



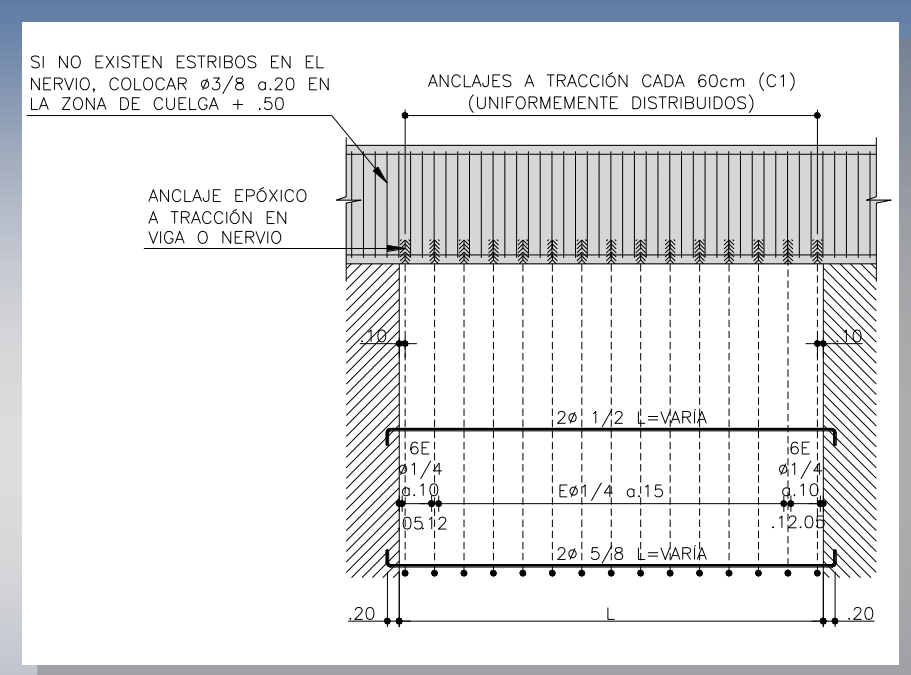
Elevación típica de Dinteles

Secciones Transversales



a) Dintel con bloque de viga

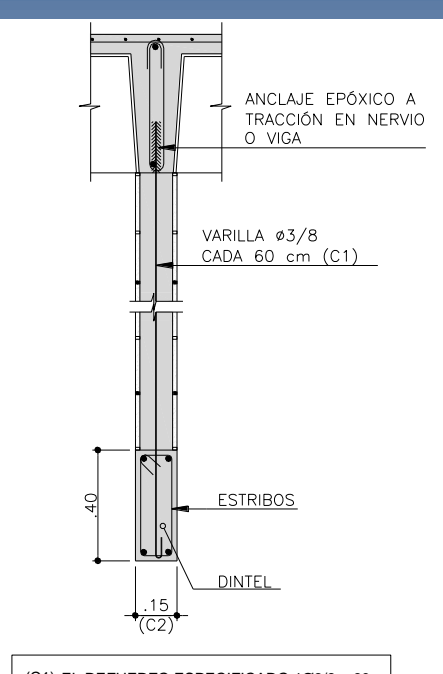
b) Dintel en concreto



Elevación de cuelga



Planta típica del muro de cuelga



(C1) EL REFUERZO ESPECIFICADO 1Ø3/8 a.60 CORRESPONDE A LA CUELGA CUANDO COINCIDE LONGITUDINALMENTE CON VIGA O NERVIO. SI ESTE NO FUERA EL CASO COLOCAR UN TENSOR DE Ø1/2 CADA NERVIO.

(C2) SE PUEDE REDUCIR LA SECCIÓN 5.0 cm SI SE REQUIERE POR ENCHAPE.

Sección típica de Cuelga



Muchas Gracias!!

Luis Gonzalo Mejía C. y Cía. Ltda.



Estructura en pórticos de concreto

No. De pisos: 6

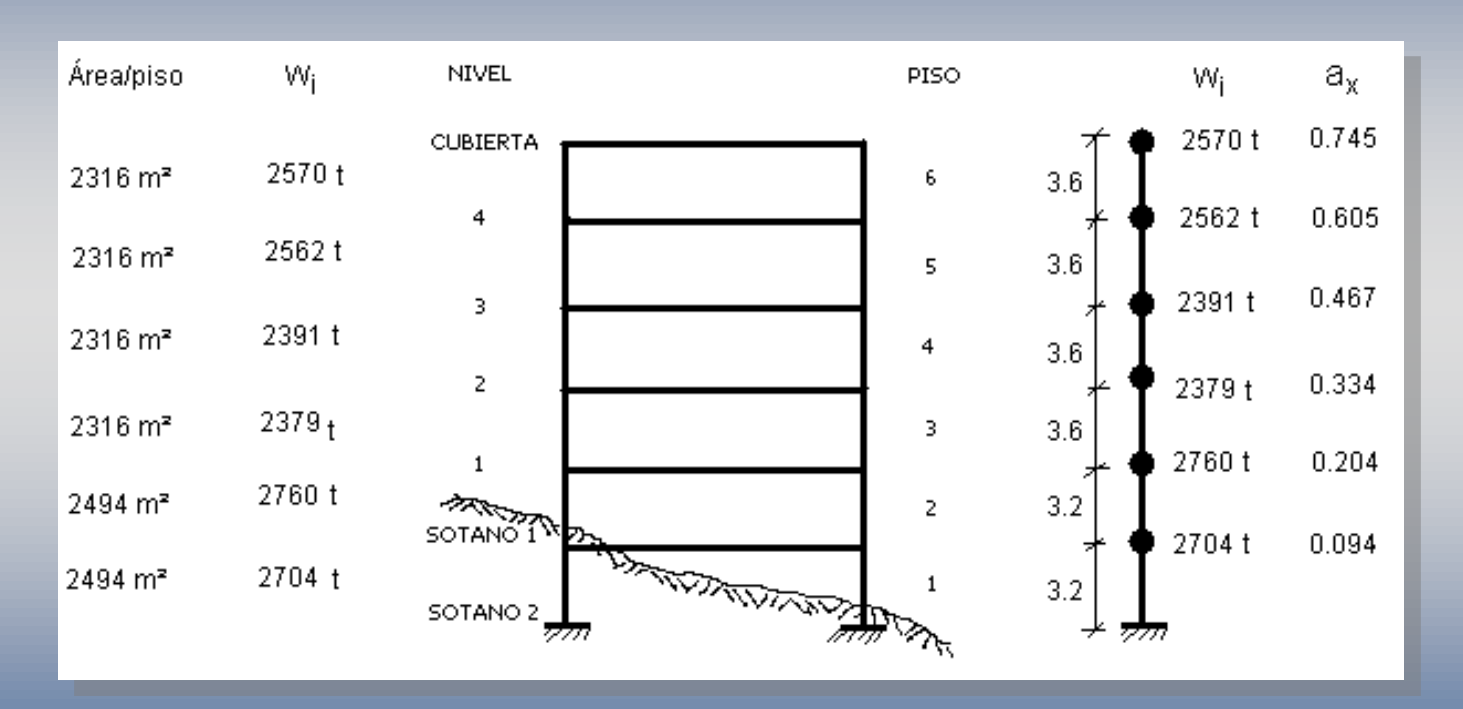


Tabla 1. Análisis sísmico de la estructura por el método de la F.H.E.										
$V = C_S W$				$\frac{S_g}{R} = \frac{1,2A SI}{2T} \le 2,5A_g \frac{1}{R}$						
<u>Ç</u> ∈ 0,08 o		$T_a = C_t$	$h_n^{3/4} = 0.8$	R RT Sa = 0.40						
		100 10		I	II III IV					
S	S1 1,0		3 S4 ,5 2,0			1,0	1,1 1,2 1,3			
Piso o Placa	Altura Al Nivel	bx ^k	Peso Nivel x W ₄ (T)		$C_{\nu\chi} =$	Fuerza Lateral al Nivel x				
	X (m) desde el piso b _x		VV ₄ (t)	W _t h _x k (t-m)	$C_{\nu\chi} = \frac{W_{\chi}h_{\chi}^{k}}{\sum W_{i}h_{i}^{k}}$	$a_{\chi} = \frac{C_{\chi\chi}V_S}{m_{\chi}g}$	$C_{vx} = \frac{W_x h_x^k}{\sum W_j h_j^k}$			
(1)	(m) (2)	(3)	(4)	(5)	(6)	(7)				
	11 (200) 11				- 17		$T \le 0.5$ $k = 1$			
	V _{elas} = 6			0200ton =	= ° S		0,75+0,57			
							$T \ge 2.5$ $k = 2$			
6 5	20,8 17,2		2570 2562	72423 58567	0,309 0,250	0,745 0,605				
4	13,6		2391	42225	0,230	0,863				
3	10,0	12,59	2379	29952	0,128	0,334				
2	6,4 3,2	7,71 3,59	2760 2704	21280 9707	0,091 0,041	0,204 0,094				
Σ	3,2	0,00	15366	234154	1,000	0,004	LA BASE HASTA ELNIVEL MÁS ALTO DE LA			
							CONSTRUCCIÓN			

Ahora, siguiendo los requisitos del capítulo A.9 de la NSR-98, se definen los siguientes parámetros:

Grupo de uso \rightarrow Según A.2.5.1.3 \Rightarrow II = 1,1

Amplificación dinámica → Según A.9.4.2.2 y tabla A.9.2

 $a_p = 1.0$ (Muros biapoyados)

 $a_p = 2.5$ (Muros en voladizo)

Grado de desempeño → Según A.9.2.3 y tabla A.9.1 para grupo de uso II : Bueno

$$R_p = 3.0$$
 anclaje dúctil

Peso del muro \rightarrow Según B.3.2 (NSR-98), la densidad de la mampostería hueca es $\gamma = 1,3 \text{ t/m}^3$, entonces:

$$w_p/m2 = 1.3 \text{ t/m}^3 * 0.15 \text{m} \approx 0.20 \text{ t/m}^2 * 1.25 \approx 0.25 \text{ t/m}^2.$$

El incremento del 25% es debido al peso aproximado del revoque más la pega.

Método por Resistencia Última

$$F_P = \frac{a_x a_P}{R_P} g M_P \ge \frac{A_a I}{2} g M_P$$

Método por Esfuerzos Admisibles

$$F_P = \frac{1}{1,4} \frac{a_x a_P}{R_P} g M_P \ge \frac{1}{1,4} \frac{A_a I}{2} g M_P$$

Caso I Muros Biapoyados (Superposición de dos estados)

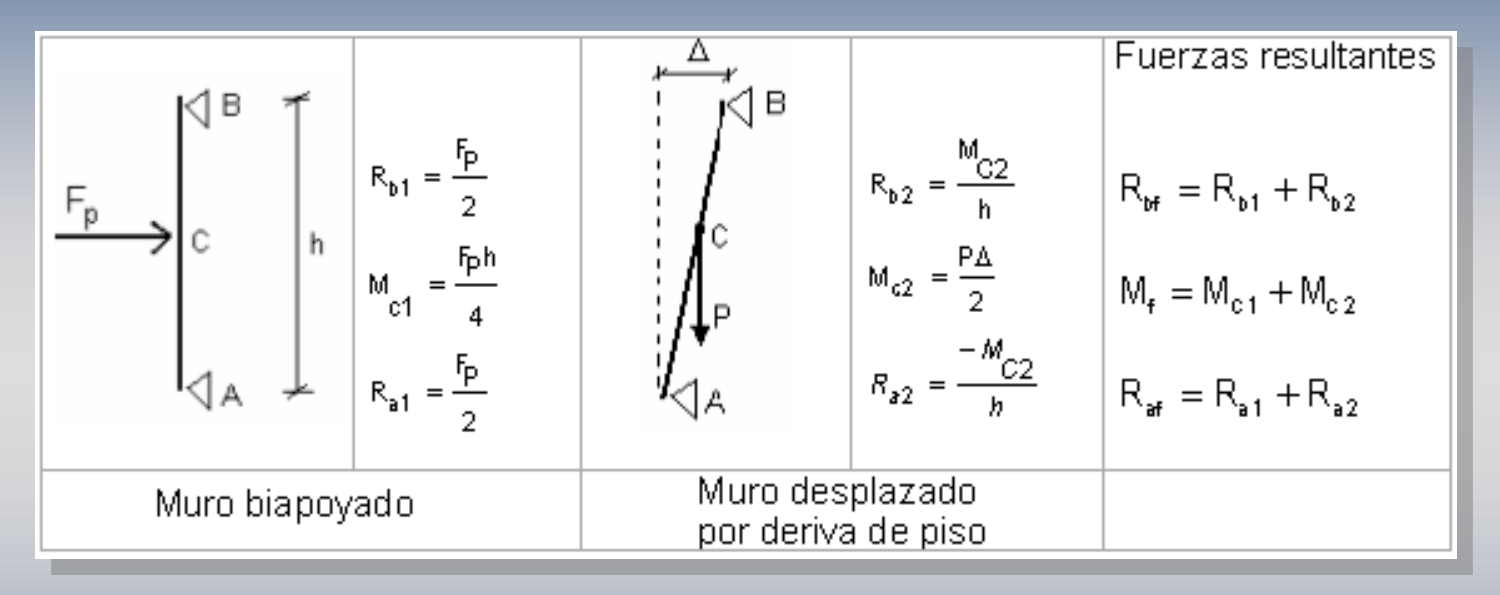


Tabla 2. Fuerzas de Diseño para muros biapovados

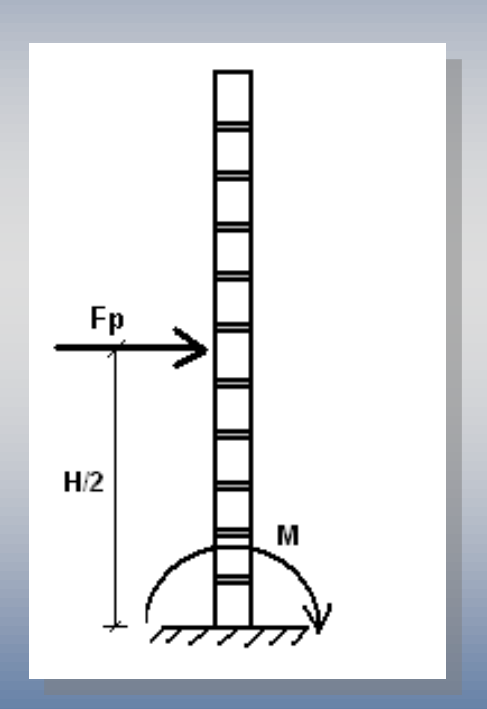
	Table 2: 1 derzas de Discho para maros biapoyados														
Γ	Piso	h _{pl}	ax	Fp	Mo1	Rat	Rbi	Deriva	Р	Mc2	Raz	R _{b2}	M₁	Rar	Rbf
L		(m)	(m/seg*)	(Kgf/m)	(Kgf-m/m)	(Kgf)	(Kgf)	(cm)	(Kgf)	(Kgf-m/m)	(Kgf)	(Kgf)	(Kgf-m/m)	(Kgf)	(Kgf)
Γ	6	3,4	0,745	150	128	75	75	2,100	850	9	-3	3	137	72	78
Γ	- 5	3,4	0,605	122	104	61	61	2,900	850	12	-4	4	116	57	65
	4	3,4	0,467	95	80	47	47	3,750	850	16	-5	5	96	43	52
Γ	3	3,4	0,334	68	57	34	34	4,210	850	18	-5	5	75	29	39
Γ	2	3,0	0,204	39	31	20	20	3,460	750	13	-4	4	44	27	35
	1	3,0	0,094	18	15	9	9	1,880	750	7	-2	2	22	13	17

Caso II Muro en Voladizo

Muro de altura parcial H = 2.3 m

$$Fp = \frac{a_x a_p}{1.4 R_p} gM_p = \frac{0.467 * 2.5}{1.4 * 3.0} * 0.25 * 2.3 = 0.159 t/m$$

$$M = F_p \frac{H}{2} = 159 \text{kgf/m} * 1,15 \text{m} = 183 \text{kgf} - \text{m/m}$$



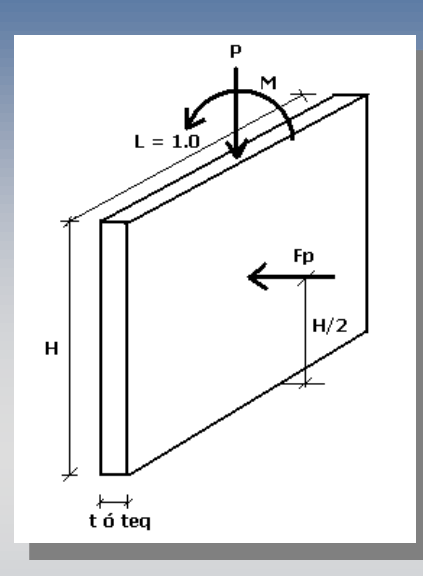


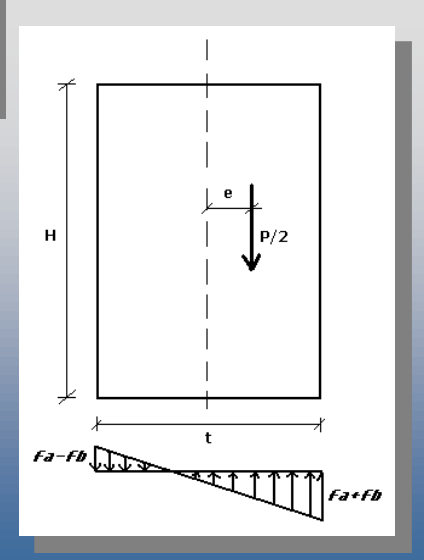
$$f_a = \frac{P/2}{A} = \frac{P/2}{Lt_{eq}} = \frac{850/2}{7.6 * 100} = 0.56 \, \text{Kgf/cm}^2$$

De la tabla 2, se obtiene que el mayor momento flector se da en el muro del piso 6, entonces:

$$M_f = 137 \, kgf - m/m$$

$$f_b = \frac{My}{I} = \frac{M}{L \ t^2/6} = \frac{137 * 100}{100 * 15^2/6} = 3,7 \, \text{Kgf/cm}^2$$





• Esfuerzos admisibles por compresión axial (Ecuación D-1-1, NSR-98)

$$F_a = 0.20 f' m R_e$$
 donde $f' m = 100 kgf / cm^2 R_e = 1 - (h'/40t)^3$

$$R_e \cong 0.82$$

$$F_a = 0.20 * 100 * 0.82 = 16.4 \text{ kgf/cm}^2$$

• Esfuerzos admisibles para compresión por flexión (Ecuación D-1-6, NSR-98)

$$F_{b} = 0.33 f'm = 33.0 \, \text{Kgf} \, / \text{cm}^2$$

• Esfuerzos combinados

$$\left| \frac{f_a}{F_a} + \frac{f_b}{F_b} \le 1,33 \right|$$



Control por Compresión

$$\frac{f_a}{F_a} + \frac{f_b}{F_b} \le 1,33 \Rightarrow \frac{0,56}{16,4} + \frac{3,7}{33,0} = 0,15 < 1,33 \Rightarrow OK!$$

• Esfuerzos admisibles de cortante (Ecuación D-1-9, NSR-98)

$$f_V = \frac{V}{bjd}$$
 $F_V = 0.26\sqrt{f'm} = 2.6 \, kgf/cm^2$

• Control por Cortante (Ecuación D-1-9, NSR-98)

$$f_{V} = \frac{V}{bjd} \quad V = 78 \, Kgf / m \, (ver \, R_{bf} \, en \, tabla \, 2); \qquad f_{V} = \frac{V}{bjd} = \frac{78.0}{100 \, ^{*} \, 0.8 \, ^{*} \, 10} = 0.09 \, \frac{Kgf}{cm^{2}}$$

Control por Tracción (D-1.5.4, NSR-98)

De la tabla D-1.2 para mortero tipo S y tracción perpendicular a la junta horizontal $Ft = 1,5Kgf/cm^2$

$$\begin{split} &f_a-f_b=0,\!56-3.7=-3,\!1 Kgf/cm^2 \text{ (tracción)} \\ &f_a-f_b<1,\!33 F_t \quad 3,\!1 Kgf/cm^2 \ >2,\!0 \, Kgf/cm^2 \ \Rightarrow Refuerzo \end{split}$$

• Parámetros de diseño

- * f'm = 100 kgf/cm2
- * Em = 900 f`m = 90000 kgf/cm2 (Mampostería en concreto)
- * Fs = $0.5 \text{ fy} \le 1700 \times 1.33 = 2261 \text{ kgf/cm2}$ (Ecuación D 1 18, NSR 98)
- * Fa = 0,2 f'm R (Ecuación D 1 1, NSR- 98) Para h/t = $(3,6 - 0,2)/0,15 = 22,7 \Rightarrow R = 0,8$ Fa = 0,2*100*0,8 = 16,0 kgf/cm2
- * Fb = 0.33 f'm (Ecuación D 1 6, NSR 98)

 $Fb = 0.33*100.0 = 33.0 \text{ kgf/cm}^2$

• Ecuaciones para el diseño (ver Ref. 2)

$$\begin{split} \rho &= \frac{A_s}{bd}, \quad n = \frac{E_s}{E_m} \\ k &= \sqrt{2np + (np)^2} - np \\ j &= 1 - \frac{k}{3} \\ f_m &= \frac{M}{bd^2} \left(\frac{2}{kj}\right), \quad f_s = \frac{M}{A_s jd} \end{split}$$

Caso I Diseño de Muro Biapoyado

4° PISO

$$M = 96.0 \, \text{Kgf} - \text{m/m} \rightarrow \text{(ver tabla 2)}$$

Con
$$\phi 3/8 \text{ a } 1,00 \text{ A}_S = 0,65 \text{ cm}^2/\text{m}$$

$$bd = 100 * 7 = 700$$

$$bd^2 = 100 * 7 * 0.07 = 49.0$$

$$\rho = \frac{0.65}{700} = 0.00092$$

$$n = 2000000/90000 = 22,22 \Rightarrow n\rho = 0,0204 \Rightarrow \begin{cases} j = 0,939 \\ 2/k j = 11.63 \end{cases}$$

$$f_S = \frac{96.0}{0.65 * 0.939 * 0.07} = 2261.0 \text{ Kgf/cm}^2 \le F_S$$

 $\Rightarrow \phi 3/8a1,00$ OK!

$$f_{\text{m}} = \frac{96.0 * 11.63}{49.0} = 22.8 \, \text{Kgf} / \text{cm}^2 < F_{\text{b}}$$

Caso II Diseño de Muros en Voladizo

4° PISO

$$M = 183,0 \, \text{Kgf-m/m}$$

Con
$$\phi 1/2 \text{ a } 1,00 \text{ A}_S = 1,29 \text{ cm}^2/\text{m}$$

$$bd = 100 * 7 = 700$$

$$bd^2 = 100 * 7 * 0.07 = 49.0$$

$$\rho = \frac{1,29}{700} = 0,00184$$

$$n = 2000000/90000 = 22,22 \Rightarrow n \rho = 0,0409 \Rightarrow \begin{cases} j = 0,9173 \\ 2/k \ j = 8,79 \end{cases}$$

$$f_S = \frac{183.0}{1,29 * 0.9173 * 0.07} = 2209.0 \,\text{Kgf/cm}^2 < F_S$$

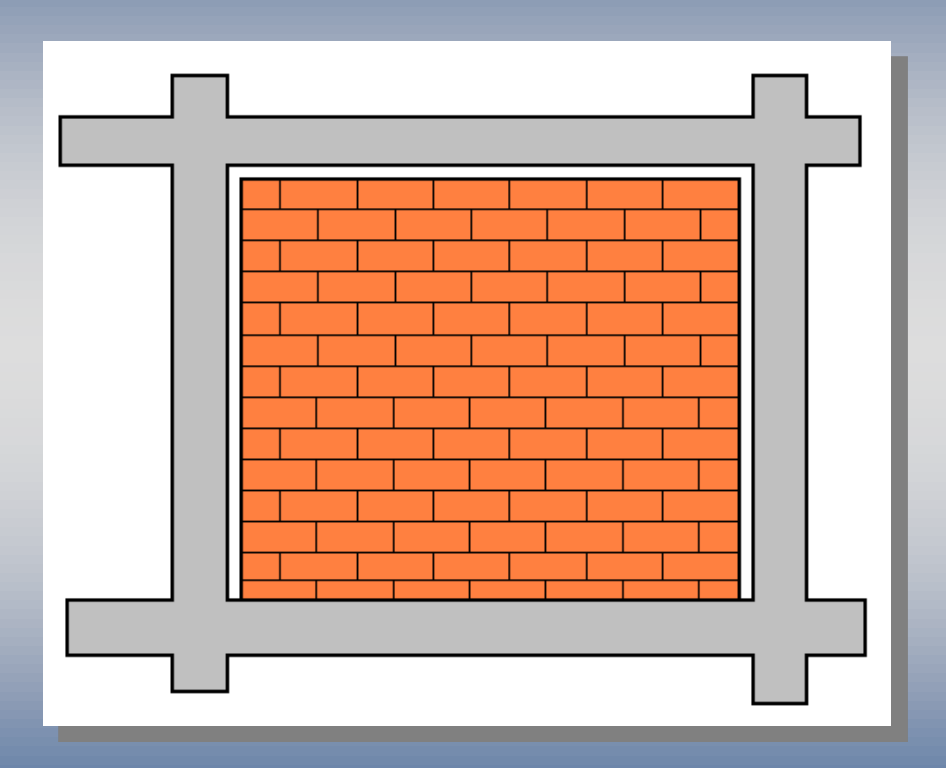
$$\Rightarrow \phi 1/2a1,00$$
 OK!

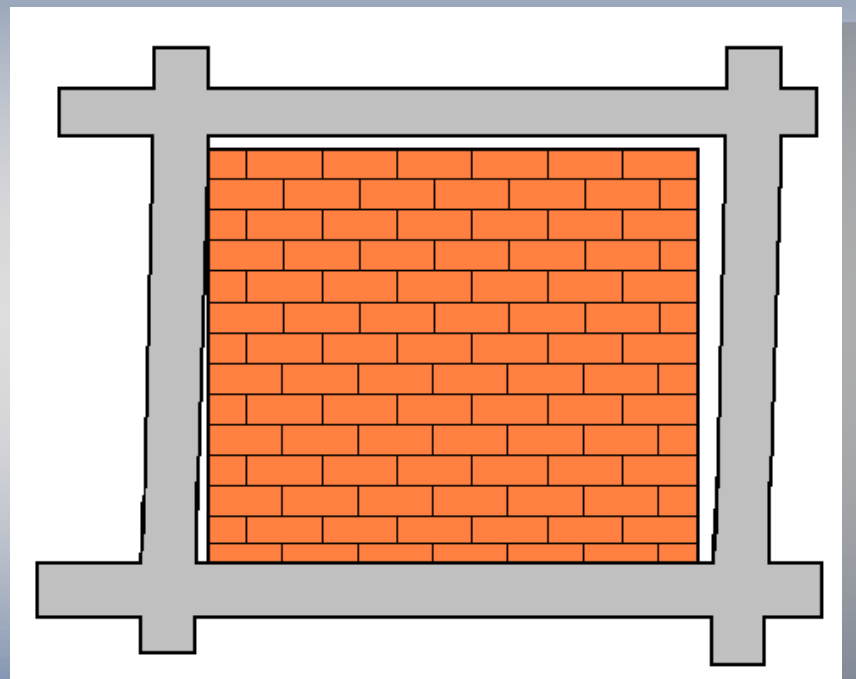
$$f_{\rm m} = \frac{183.0 * 8.79}{49.0} = 32.8 \, \text{Kgf/cm}^2 < F_{\rm b}$$

<u>Regresar</u>



SEPARACIÓN DE LA ESTRUCTURA





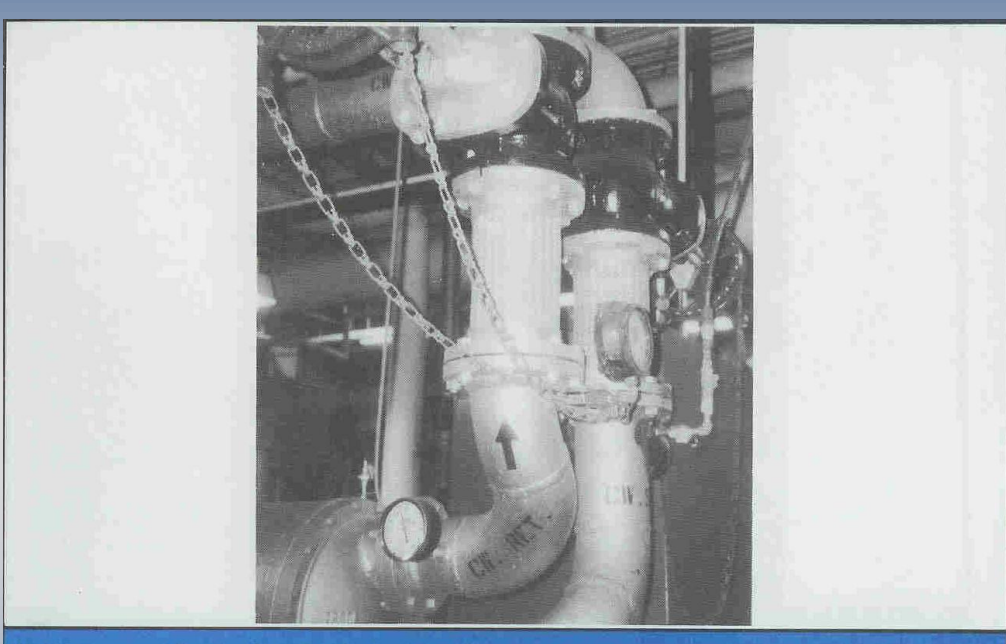
ANTES

DESPUÉS

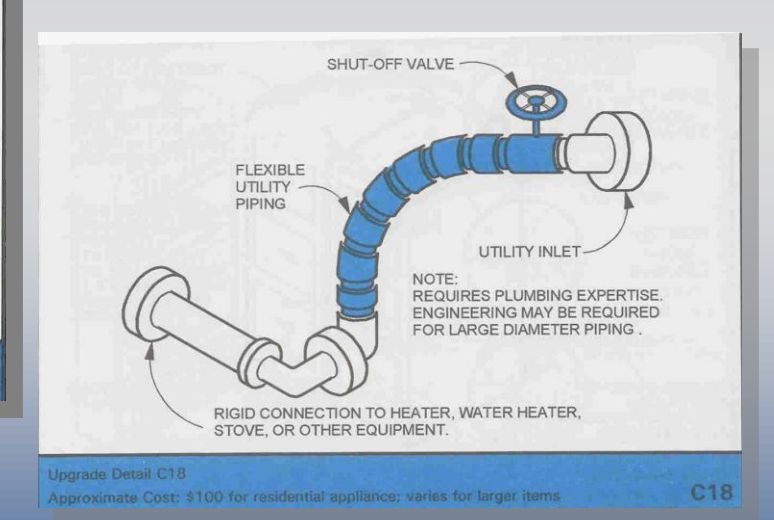
FUERZA SÍSMICA ACTUANDO EN EL PLANO DEL MURO



ACOPLAMIENTOS FLEXIBLES



Flexible connection at pipe attachment to tank Photo Credit: Wiss, Janney, Elstner Associates, Inc.



Tomado de FEMA 74/Septiembre 1994. "Reducing the Risks of Nonstructural Earthquake Damage"





Tabla A.9-2 (NSR-98)

Coeficiente de amplificación dinámica y tipo de anclaje mínimo requerido

Elemento no estructural		Tipo de anclajes o amarres para determinar el coeficiente de capacidad de disipación de energía, R _o , mínimo requerid				
	a _p	Grado de desempeño				
and service the burned time 170 h. a. 1447		Superior	Bueno	Bajo		
Fachadas Paneles prefabricados apoyados arriba y abajo	1.0	Dúctiles	Dúctiles	No dúctiles		
En vidrio apoyadas arriba y abajo Láminas en yeso, con costillas de acero Mampostería reforzada, separadas lateralmente de	1.0	Dúctiles No dúctiles	Dúctiles No dúctiles	No dúctiles No dúctiles		
la estructura, apoyadas arriba y abajo Mampostería reforzada, separada lateralmente de	1.0	Dúctiles	No dúctiles	No dúctiles		
la estructura, apoyadas solo abajo Mampostería no reforzada, separada lateralmente de	2.5	Dúctiles	No dúctiles	No dúctiles		
la estructura, apoyadas arriba y abajo	1.0	No se permite	No se permite	No dúctiles ^{ti}		
Mampostería no reforzada, separada lateralmente de la estructura, apoyadas solo abajo	2.5	No se permite	No se permite	No dúctiles(1)		
Mampostería no reforzada, confinada con la estructura	1.0	No se permite	No se permite	No dúctiles(2)		
Muros que encierran puntos fijos y ducto de las escaleras, ascensores y otro	1.0	Dúctiles	No dúctiles	Húmedos ⁽¹⁾		
Muros divisorios y particiones Corredores en áreas públicas Muros divisorios de altura total Muros divisorios de altura parcial	1.0 1.0 2.5	Dúctiles No dúctiles No dúctiles	No dúctiles No dúctiles No dúctiles	Húmedos ⁽¹⁾ Húmedos ⁽¹⁾ Húmedos ⁽¹⁾		
Elementos en voladizo vertical Áticos, parapetos y chimeneas	2.5	Dúctiles	No dúctiles	No dúctiles		
Anclaje de enchapes de fachada	1.0	Dúctiles	No dúctiles	Húmedos		
Altillos	1.5	Dúctiles	No dúctiles	No dúctiles		
Cielo rasos	1.0	No dúctiles	No dúctiles	No requerido ⁽³⁾		
Anaqueles, estanterías y bibliotecas de más de 2.50 m de altura, incluyendo contenido Diseñadas de acuerdo al Título F Otras	2.5 2.5	Especiales Dúctiles	Dúctiles No dúctiles	No requerido ⁽³⁾ No requerido ⁽³⁾		
Tejas	2.5	No dúctiles	No dúctiles	No requerido ⁽³⁾		

Motac

- Debe verificarse que el muro no pierde su integridad al ser sometido a las derivas máximas calculadas para la estructura.
 Además de (1) debe verificarse que no interactúa adversamente con la estructura.
- 3. El elemento no estructural no requiere diseño y verificación sísmica.

TIPOS DE ANCLAJES

Especiales (Rp=6.0): diseñados siguiendo los requisitos del Título F para estructuras tipo (DES).

Dúctiles (Rp=3.0): anclajes profundos con epóxico o vaciados en el sitio, es decir aquellos cuya profundidad sea mayor a 8 veces el diámetro de la barra o perno. NO se permiten los pernos de expansión ni los colocados por medio de tiros.

No Dúctiles (Rp=1.5): anclajes superficiales con epóxico o vaciados en el sitio, es decir aquellos cuya profundidad sea menor a 8 veces el diámetro de la barra o perno, e incluyen los pernos de expansión y aquellos colocados por medio de tiros.

Húmedos (Rp=0.5): cuando se utiliza mortero o adhesivo que pegue directamente el elemento al concreto, es decir cuando no existe ningún tipo de anclaje mecánico resistente a la tracción.



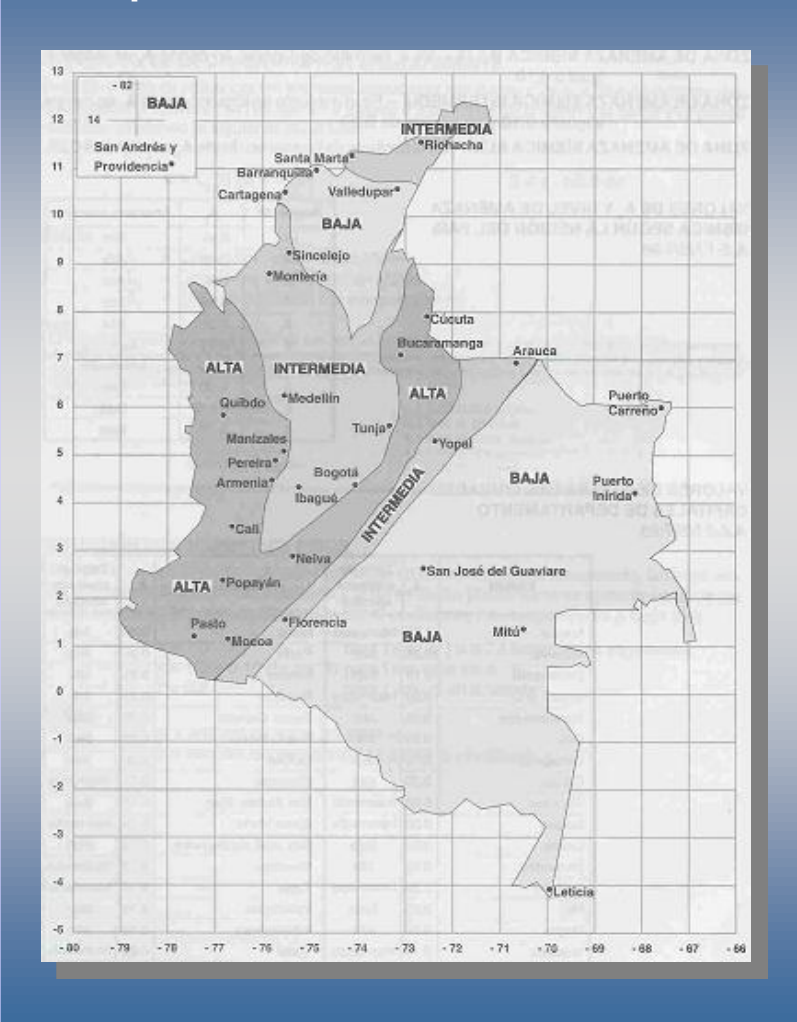
Tabla A.9-3 (NSR-98)

Coeficiente de amplificación dinámica y tipo de anclaje mínimo requerido

Coeficiente de amplificación dinámica, a_p, y tipo de anclajes o amarres requeridos, usado para determinar el coeficiente de capacidad de disipación de energía , R_p, para elementos hidráulicos, mecánicos y eléctricosª

Elemento no estructural		Tipo de anclajes o amarres para determinar el coeficiente de capacidad de disipación de energía, R _o , mínimo requerido					
		Gr	Grado de desempeño				
		Superior	Bueno	Bajo			
Sistema de protección contra el fuego	2.5	Dúctiles	No dúctiles	No dúctiles			
Plantas eléctricas de emergencia	1.0	No dúctiles	No dúctiles	No requerido ^g			
Maquinaria de ascensores, guías y rieles del ascensor y el contrapeso	1.0	Dúctiles	No dúctiles	No requerido ⁹			
Equipo en general Calderas, hornos, incineradores, calentadores de agua y otros equipos que utilicen combustibles, y sus chimeneas y escapes. Sistemas de comunicación Ductos eléctricos, cárcamos y bandejas de cables ^c Equipo eléctrico, transformadores, subestaciones, motores, etc. Bombas hidráulicas Tanques condensadores, intercambiadores de calor, equipos de presión Empates con las redes de servicios públicos	1.0	Dúctiles	No dúctiles	No requerido ^a			
Maquinaria de producción industrial	1.0	Dúctiles	No dúctiles	Húmedos			
Sistemas de tubería Tuberías de gases y combustibles Tuberías del sistema contra incendio Otros sistemas de tuberías ^d	2.5 2.5 2.5	Dúctiles Dúctiles No dúctiles	No dúctiles No dúctiles No requerido	No dúctiles No dúctiles No requerido ⁹			
Sistemas de aire acondicionado, calefacción y ventilación, y sus ductosº	1.0	Dúctiles	No dúctiles	No requerido ^g			
Paneles de control y gabinetes eléctricos		No dúctiles	No dúctiles	No requerido ⁹			
Luminarias y sistemas de iluminación f	1.0	No dúctiles	No dúctiles	No requerido ⁹			

Mapa de Zonas de Amenaza Sísmica



Mapa de Zonas de Amenaza Eólica

